

بررسی تأثیر pH و مقدار آمونیاک بر سنتز ذرات گروی سیلیس به روش سل-ژل

حامد یعقوبی^{*} و حسین سربولکی^۲

چکیده

تا کنون بسیاری از شکل‌های سیلیس به عنوان یکی از اساسی‌ترین مواد سرامیکی شناخته شده‌اند، اما با مطرح شدن سیلیس کلوئیدی، چشم اندازی وسیع در مقابل پژوهشگران داشش شیمی و مواد قرار گرفته است. در این پژوهش فرآیند سنتز نوعی سیلیس کلوئیدی با عنوان سیلیس گروی پخش شده با اندازه‌ی حدود ۱۰۰-۳۰۰ نانومتر به روش سل-ژل در pH های گوناگون و نیز در مقادیر متفاوت آمونیاک به عنوان یک واکنشگر قلیایی مورد بررسی قرار گرفته است. نتایج نشان می‌دهند که با افزایش مقدار آمونیاک، اندازه‌ی نانو ذرات سیلیس افزایش می‌یابد و در پی آن، تعداد گروههای آزاد سیلانول (Si-OH) روی سطح نانوسیلیس و نیز فعالیت سطحی آن‌ها کاهش می‌یابد؛ به این ترتیب برای سنتز نانو ذرات ریزتر سیلیس نیاز به آمونیاک کم‌تری است، اما کاهش مقدار آمونیاک خود منجر به کاهش بازده واکنش تولید نانوسیلیس از ترااتیل اورتوسیلیکات می‌گردد. در pH های اسیدی تنها لایه‌ای ترک خورده‌ای از سیلیس مشاهده شد در حالی که در pH های قلیایی نانو ذرات سیلیس بدست آمد. بررسی‌های ^۳(FTIR) ارتعاشات کششی متقارن و نامتقارن گروههای آزاد سیلانول روی سطح نانوذرات سیلیس را به همراه پیوندهای سیلوکسان (Si-O-Si) نشان می‌دهد.

واژه‌های کلیدی: نانوسیلیکا، آمونیاک، سل-ژل، TEOS^۴

۱- فارغ‌التحصیل کارشناس ارشد مهندسی مواد- سرامیک از دانشگاه علم و صنعت ایران.

۲- دانشیار، دانشکده‌ی مهندسی مواد دانشگاه علم و صنعت ایران.

*- نویسنده‌ی مسئول مقاله: hsrpoolaky@iust.ac.ir, h.yaghobi@gmail.com

³ - Fourier Transform Infrared Spectroscopy

⁴ - Tetra Ethyl Ortho Silicate

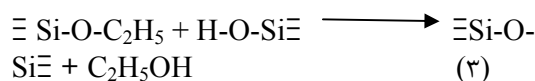
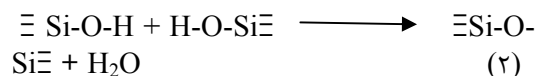
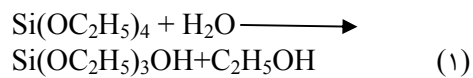
پیشگفتار

نانو ذرات کروی سیلیس کاربردهایی وسیع در صنایع شیمیایی، کاتالیست‌ها، عایق‌های الکتریکی و حرارتی، کرومومتوگرافی، پولیش‌های مکانیکی شیمیایی، لایه‌های نازک و زیرپایه‌های الکترونیکی دارد. کیفیت تمام این محصولات، وابسته به اندازه و توزیع اندازه‌ی نانو ذرات سیلیس دارد. توزیع پهن این ذرات و مقادیر متفاوت آلدگی‌های فلزی منجر به آغاز پژوهش‌ها برای تولید ذرات نانوسیلیس خالص‌تر با توزیع اندازه‌ی باریک تر شد. هم‌اکنون تلاش‌های زیادی در زمینه‌ی سنتز این نانو ذرات با کنترل اندازه، توزیع، شکل و درصد تخلخل برای کاربردهای یاد شده انجام گرفته است [۱-۳].

مروری بر منابع مطالعاتی

نانوذرات کروی شکل سیلیس نخستین بار به وسیله‌ی استوبر و همکارانش در سال ۱۹۶۸ سنتز گردید. فرآیند استوبر بر اساس هیدرولیز و پلیمریزاسیون ترا اتیل اورتوسیلیکات (TEOS) در محیط شامل اتانول و آب مقتدر انجام می‌گیرد. در این فرآیند، آمونیاک به عنوان واکنشگر قلیایی و اسید هیدروکلرویک به عنوان واکنشگر اسیدی بکار گرفته شده است [۴-۷]. غلظت TEOS، آمونیاک، آب، حلal (الکل) و دمای واکنش پنج عامل مهم در کنترل اندازه و توزیع نانو ذرات سیلیس سنتز شده به روش استوبر است. روی هم رفته، این روش شامل هیدرولیز TEOS در آب با یک الکل با وزن مولکولی کم (متانول یا اتانول) به همراه واکنشگر آمونیاک است که می‌تواند شرایط تولید نانو ذرات کروی پراکنده شده‌ی سیلیس را در محدوده‌ی ۵ تا ۲۰۰۰ نانومتر فراهم نماید.

این واکنش‌ها به صورت زیر ارایه شده اند [۱۲]



واکنش نخست، هیدرولیز TEOS در آب با یک الکل با وزن مولکولی کم (اتانول) به همراه واکنشگر آمونیاک (شرایط قلیایی) است. در حالت کلی، این واکنش هیدرولیز TEOS منجر به تولید محصولی میانی به نام مونومر Si(OC₂H₅)₃OH هیدرولیز شده تکمرحله‌ای^۱ با فرمول $\text{Si}(\text{OC}_2\text{H}_5)_3\text{OH}$ می‌شود که در ادامه ذرات سیلیس از این محصول میانی بر اساس واکنش (۲) و (۳) تشکیل خواهد شد. واکنش دوم و water condensation به دلیل تولید آب به واکنش water condensation واکنش سوم به دلیل تولید الکل (اتانول) به واکنش alcohol condensation معروف است [۱۵].

حضور آمونیاک سرعت هیدرولیز TEOS (واکنش ۱) و هم‌چنین، سرعت condensation (واکنش‌های ۲ و ۳) را زیاد می‌کند و در نتیجه، اندازه‌ی ذرات سیلیس تشکیل شده نیز افزایش می‌یابد. بازده واکنش نیز با افزایش آمونیاک افزایش می‌یابد، با افزایش مقدار آمونیاک تا ۳ مول بر لیتر، بازده واکنش به بیشینه‌ی خود (۹۵ درصد) افزایش می‌یابد که نشان از پیشرفت کامل واکنش دارد. مقادیر کمتر آمونیاک برای کاهش اندازه‌ی ذرات و هم‌چنین، توزیع باریک‌تر آن‌ها لازم است؛ البته، مقدار بازدهی واکنش کم می‌شود [۶ و ۲]. اصلی ترین مشکل فرآیند سنتز به روش استوبر، سنتز نانو ذرات کروی پخش شده^۲ و جلوگیری از آگلومره شدن آن‌هاست که این مشکل در اندازه‌های کمتر از ۱۲۰ نانومتر نیز بیشتر خود را نشان می‌دهد. از دیگر مشکلات این فرآیند می‌توان به مقادیر زیاد اتانول مصرفی (به عنوان حلal TEOS در ابتدا باید در محیط سنتز وجود داشته باشد) برای سنتز نانو ذرات پخش شده‌ی سیلیس اشاره کرد [۸].

کنترل شکل نانو ذرات در فرآیند سل-ژل نیز یکی دیگر از مشکلات است که متغیرهای زیادی به صورت همزمان بر آن عمل می‌کنند. بسته به روش سنتز، شکل ذرات کلوبیدی می‌تواند از ذرات کروی منفرد تا آگلومره‌هایی با ساختارهای پیچیده تغییر کند. مقدار واکنشگر و pH از متغیرهای بسیار مهم در این واکنش‌هاست [۵ و ۳].

^۱ - Singly-hydrolyzed

^۲ - Disperse

ابتدا گمان می‌رفت که این ترک‌ها به دلیل سرعت زیاد خشک کردن نمونه‌هاست، اما حضور این ترک‌ها و عدم تشکیل نانو ذرات سیلیس حتی در نمونه‌هایی که با سرعت بسیار کم خشک شده بودند، این گمان را رد کرد. در ادامه نیز پنداشته شد که عدم تشکیل نانو ذرات سیلیس به دلیل تنظیم نبودن pH سامانه است؛ به این منظور، یک سامانه با pH قلیایی در محدوده ۹ تا ۱۰ و یک سامانه‌ی دیگر با pH اسیدی در محدوده ۲ تا ۳ تهیه شد. برای محدوده pH قلیایی از NaOH و برای SEM pH اسیدی از اسید نیتریک استفاده شد. تصاویر SEM برای این دو سامانه در شکل ۳ و ۴ به ترتیب نشان داده شده‌اند. در محدوده pH های قلیایی اگرچه نانو ذرات سیلیس تشکیل شده بودند، اما ذراتی بدون شکل مشخص و به صورت آگلومره‌های پراکنده در نقاط گوناگون بودند که از لحاظ علمی ارزش چندانی نداشتند. در محدوده pH های اسیدی بار دیگر همان لایه‌های ترک خورده‌ی سیلیس مشاهده شدند با این تفاوت که این لایه‌ها به صورت کاملا مستطیل شکل و منظم مانند آنچه در شکل ۴ نشان داده شده است، تشکیل شده بودند و حتی تا بزرگنمایی ۲۰۰۰۰ برابر هم نانو ذرات سیلیس یافت نشد. به این ترتیب، کاملا مشخص شده بود که با ترکیب شیمیایی مورد استفاده در این پژوهش باید pH قلیایی باشد تا نانو ذرات سیلیس تشکیل شود؛ در نهایت، با بررسی‌های بیشتر مشخص گردید که برای هیدرولیز TEOS و تشکیل پیوندهای جدید (پلیمریزاسیون) بین مونومرهای آن برای ایجاد نانو ذرات سیلیس، به یک واکنشگر نیاز است که به دلیل ارایه‌ی شرایط قلیایی pH در محدوده ۹-۱۰ در سامانه و همچنین، بر اساس مطالعات آمونیاک انتخاب گردید.

در نهایت، نانو ذرات کروی کاملا پراکنده‌ی سیلیس به وسیله‌ی روش سل-ژل در مقادیر متفاوت آمونیاک، به عنوان یک واکنشگر قلیایی بdst آمد. بررسی‌های SEM، شکل کاملا کروی نانو ذرات سیلیس و نیز عدم تشکیل هرگونه آگلومره را تایید می‌کند. شکل ۵، تصویر SEM از نانو ذرات کروی سیلیس سنتز شده را با ترکیب N1 با میانگین قطر ۱۰۰ نانومتر نشان می‌دهد. شکل ۶ و ۷ نیز به ترتیب تصاویر SEM از نانو ذرات کروی سیلیس

در این پژوهش سعی شده است تا نانو ذرات کروی شکل کاملا پخش شده‌ی سیلیس با قطر یکسان (همگن در اندازه) به روش سل-ژل با مقادیر گوناگون آمونیاک به عنوان یک واکنشگر قلیایی سنتز و بررسی گردد.

مواد و روش‌ها

مواد مصرفی در این پژوهش شامل TEOS (Merck 99.9%)، اتانول خالص (Merck 99.9%)، آمونیاک و آب مقطر است. محدوده‌ی قابل قبول برای نسبت مولی مواد اولیه‌ی مصرفی در جدول ۱ نشان داده شده است. فرآیند سنتز نانو ذرات کروی کاملا پراکنده‌ی سیلیس در دمای اتاق مطابق با فرآیند اصلاح شده استویر انجام شد. مراحل این فرآیند به صورت شماتیک در شکل ۱ نیز نشان داده شده است. در ابتدا آب مقطر و اتانول به مدت ۲۰ دقیقه به وسیله‌ی همزن مغناطیسی مخلوط شدند. سپس آمونیاک اضافه شد و هم‌زدن به مدت ۲۰ دقیقه دیگر ادامه یافت. در پایان TEOS قطره قدره با سرعت ثابت ۴۰ قطره در دقیقه به مخلوط افزوده شد. گفتنی است که در کل فرآیند سنتز، هم زدن درون یک بشر شیشه‌ای با درب بسته و به دور از تماس مخلوط با هوا صورت گرفت.

چهار نمونه با شرایط یکسان و مقادیر متفاوت آمونیاک به عنوان یک واکنشگر قلیایی تهیه و سپس به وسیله‌ی FTIR (SHIMADZU 4800S) و SEM شدن.

نتایج و بحث

مقدار آمونیاک به عنوان یک واکنشگر قلیایی برای سنتز نانو ذرات کروی سیلیس بسیار اهمیت دارد. در ابتدای این پژوهش، نمونه‌ای با ترکیب N0 بدون کاربرد آمونیاک تهیه شد و پس از خشک کردن، بررسی‌های SEM و EDX روی آن‌ها انجام گرفت. نتایج نشان داد که اگرچه سیلیس تشکیل شده است، اما حتی تا بزرگنمایی ۲۰۰۰۰ برابر هیچ نانوذره‌ای از سیلیس یافت نشد و تنها سیلیس به صورت یک لایه‌ی نازک با ترک‌های بسیار زیاد مشاهده شد. تصویر این لایه‌ی نازک ترک خورده‌ی سیلیس در شکل ۱ نشان داده شده است. در

قرمز به وسیله‌ی گروههای آزاد سیلانول ($\equiv\text{Si-OH}$) روی سطح نانو ذرات سیلیس کاهش می‌یابد. این پدیده به صورت ضمی دلالت بر حضور کمتر این گروه از پیوندها روی سطح نانو ذرات سیلیس با قطر بیشتر دارد. به بیان دیگر، با افزایش قطر نانو ذرات سیلیس، سطح مخصوص مساحت سطح در هر گرم سیلیس) و تعداد گروههای سیلانول ($\equiv\text{Si-OH}$) کاهش می‌یابد که کاملاً با نتایج سایر منابع در تطابق است [۲].

نتیجه گیری

مقدار آمونیاک به عنوان یک واکنشگر قلیایی برای سنتز نانو ذرات کروی شکل سیلیس به روش سل-ژل از آلكوكسید ترااتیل اورتوسیلیکات بسیار اهمیت دارد. این واکنشگر قلیایی با حضور خود می‌تواند نقشی موثر در هیدرولیز TEOS و سپس پلیمریزاسیون مونومرهای ایجاد شده داشته باشد، به گونه‌ای که حضور آمونیاک منجر به تولید نانو ذرات سیلیس کروی شکل کاملاً پخش شده می‌گردد و عدم حضور این ماده، فقط منجر به تشکیل لایه‌ای ترک خورده از سیلیس می‌شود. کاهش آمونیاک به نوبه‌ی خود باعث کاهش اندازه‌ی نانو ذرات سیلیس تا اندازه‌ی ۱۰۰ نانومتر می‌شود، هرچند کاهش آمونیاک منجر به کاهش بازدهی واکنش تشکیل نانو ذرات سیلیس نیز می‌شود؛ به این ترتیب، باید مقداری بهینه (در این پژوهش این مقدار بهینه در نسبت ۳ تا ۴ آمونیاک به TEOS بدست آمده است) برای آمونیاک در نظر گرفته شود تا افزون بر سنتز نانو ذرات ریزتر، راندمان قابل قبولی از واکنش نیز بدست آید. آنالیز FTIR حضور مقادیری بیشتر از پیوندهای سیلانول را در نانو ذرات ریزتر سیلیس نشان می‌دهد، این پیوندهای سیلانول نقشی مهم در تعیین فعالیت و شیمی سطح نانو ذرات سیلیس ایفا می‌کنند.

سنتز شده را با ترکیب N2 و N3 با میانگین قطر ۲۰۰ و ۳۰۰ نانومتر نشان می‌دهد. شکل کروی، اندازه‌ی یکسان و همگن، ساختار کاملاً پراکنده و نیز عدم تشکیل هر گونه آگلومره از نانو ذرات در این تصاویر SEM مشخص است. آمونیاک به عنوان یک واکنشگر باعث افزایش سرعت هیدرولیز TEOS و همچنین، باعث افزایش سرعت پلیمریزاسیون مونومرهای هیدرولیز شده می‌شود که به نوبه‌ی خود باعث افزایش اندازه‌ی نانو ذرات سیلیس می‌گردد [۱، ۹، ۲]. شکل ۸، طیف EDX و آنالیز عصری مربوط به این نانو ذرات را نیز نشان می‌دهد که حاکی از تشکیل SiO_2 است. سایر عناصر کشف شده در این آنالیز مربوط به پوشش لایه‌ی طلا برای رسانا شدن سطح نمونه‌ها در بررسی های SEM بوده است.

شبکه‌ی تتراهدرال SiO_4 سیلیس روی سطح ذرات، یا به اکسیژن پیوندهای سیلوکسان ($\equiv\text{Si-O-Si}\equiv$) یا به صورت یکی از پیوندهای سیلانول ($\equiv\text{Si-OH}$) پایان ($\equiv\text{Si-OH}$) می‌یابد؛ غلظت این پیوندهای سیلانول است. این فعالیت مربوط به توانایی شرکت ذرات نانوسیلیس در واکنش‌های شیمیایی گوناگون، واکنش با سایر مواد و همچنین، میزان آب گریزی^۱ سطح است [۲]. شکل ۹ طیف FTIR را برای ذرات سیلیس سنتز شده به روش سل-ژل نشان می‌دهد. پیک ارتعاش کششی نامتقارن^۲ برای پیوندهای Si-O در عدد موج 1100 cm^{-1} و پیک ارتعاش کششی متقاضن^۳ آنها در عدد موج 800 cm^{-1} ، پیک ارتعاش کششی نامتقارن برای پیوندهای O-H Si-O در عدد موج 947 cm^{-1} و ارتعاش کششی O-H در عدد موج 3500 cm^{-1} را به وضوح نشان می‌دهد در حالی که تعداد زیادی از پیک‌ها در محدوده‌ی 800 تا 1200 cm^{-1} نیز مربوط به روی هم افتادن^۴ پیک‌ها در پیوندهای گوناگون Si-OH ، SiO_2 و باقیمانده گروههای آلی از واکنش است [۶].

به صورت کلی نتیجه‌ی این آنالیز نشان می‌دهد که با افزایش قطر نانو ذرات سیلیس درصد جذب اشعه‌ی مادون

¹ - Hydrophobic Nature

² - Asymmetric stretch vibration

³ - Symmetric Stretch Vibration

⁴ - Superimposition

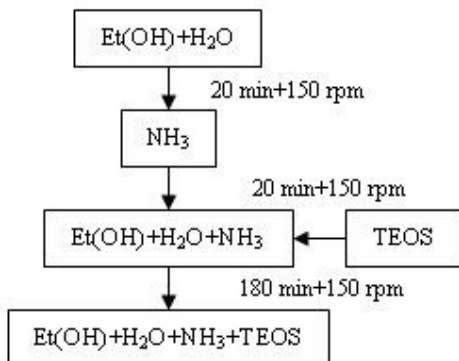
منابع

- 1- D.L. Green., and J.S. Lin., "Size, Volume Fraction and Nucleation of Stober Silica Nanoparticles", Journal of Colloidal and Interface Science 266, pages (346-358), 2003.
- 2- I.A. Rahman., "An Optimized sol-gel Synthesis of Stable Primary Equivalent Silica Particles", Colloid and Surfaces A: Physicochem. Eng. Aspects 294, pages (102-100), 2007.
- 3- K.D. Kim., and H.T. Kim., "New Process for the Preparation of Monodispersed Spherical Silica Particles", Journal American Ceramic Society, Vol.85, NO.5, pages (1107-1113), 2002.
- 4- I.A. Rahman., P. Vejayakumaram., and C.S. Sipaut., "Effect of Drying Techniques on the Morphology of Silica Nanoparticles Synthesized via Sol-Gel Process", Ceramic International, 2007.
- 5- H.E. Bergana., and W.O. Roberts., Colloidal Silica Fundamentals and Applications, CRC press, pages (237-241, 637-640). 2006.
- 6- D.C.L. Vasconcelos., W.R. Campos., and V. Vasconcelos., "Influence of Process Parameters on the Morphological Evolution and Fractal Dimension of Sol-Gel Colloidal Silica Particles", Materials Science and Engineering, pages (53-58), 2002.
- 7- P.K. Jal., "Synthesis and Characterization of Nanosilica Prepared by Precipitation Method", Colloids and Surfaces A: Physicochem. Eng. Aspects 240, pages (173-178), 2004.
- 8- J. Guo., X. Liu., and Y. Cheng., "Size Controllable Synthesis of Monodispersed Colloidal Silica Nanoparticles via Hydrolysis of Elemental Silicon", Journal of Colloida and Interface Science, pages (138-142), 2008.
- 9- T. Matsoukas., and E. Gulari., "Monomer-addition growth with a slow initiation step: A growth model for silica particles from alkoxides", Journal Colloid Interface Science, Vol. 132 (1), pages (13-21), 1988.
- 10- I.A. Rahman., P. Vejayakumaran., and C.S. Sipaut., "Effect of Anion Electrolytes on the Formation of Silica Nanoparticles via the Sol-Gel Process", Ceramic International, Vol. 32 (6), pages (691-699), 2000.

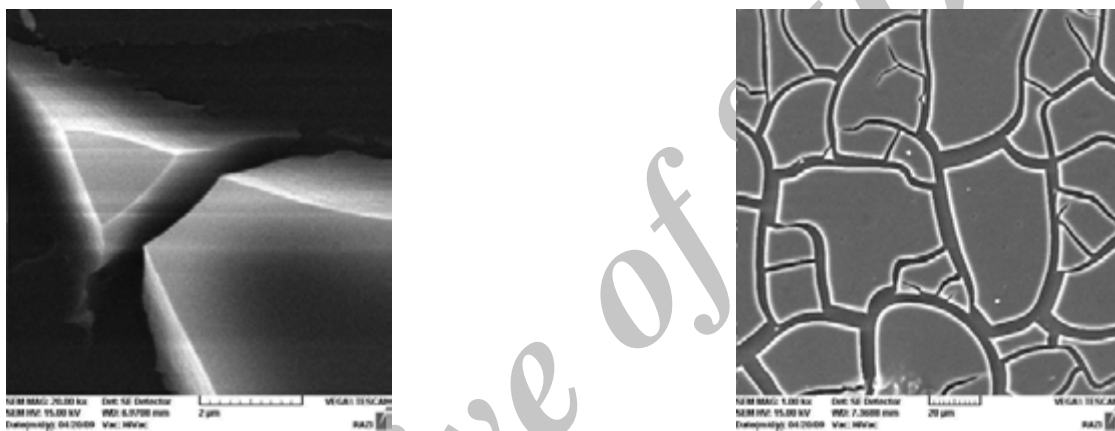
پیوست‌ها

جدول ۱- محدوده قابل قبول نسبت مولی برای $\frac{NH_3}{TEOS}$ و $\frac{Et(OH)}{TEOS}$ و $\frac{H_2O}{TEOS}$ در این پژوهش.

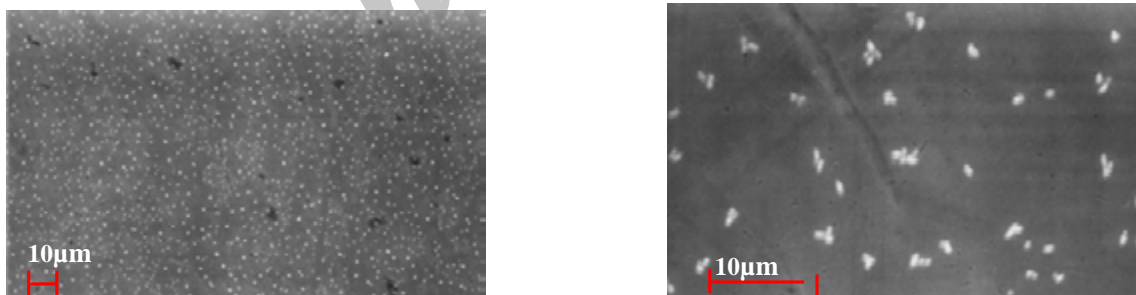
نام نمونه	N0	N1	N2	N3
نسبت مولی				
$\frac{H_2O}{TEOS}$	۵-۳۴			
$\frac{Et(OH)}{TEOS}$	۶-۶۰			
$\frac{NH_3}{TEOS}$	•	۲-۳	۳-۴	۴-۵



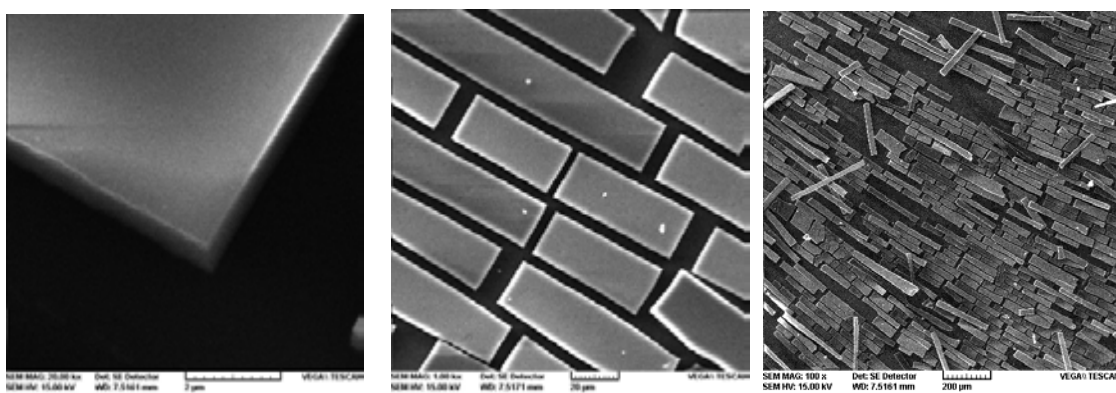
شکل ۱- مراحل فرآیند سنتز نانوذرات کروی کاملاً ثراکنده سیلیس.



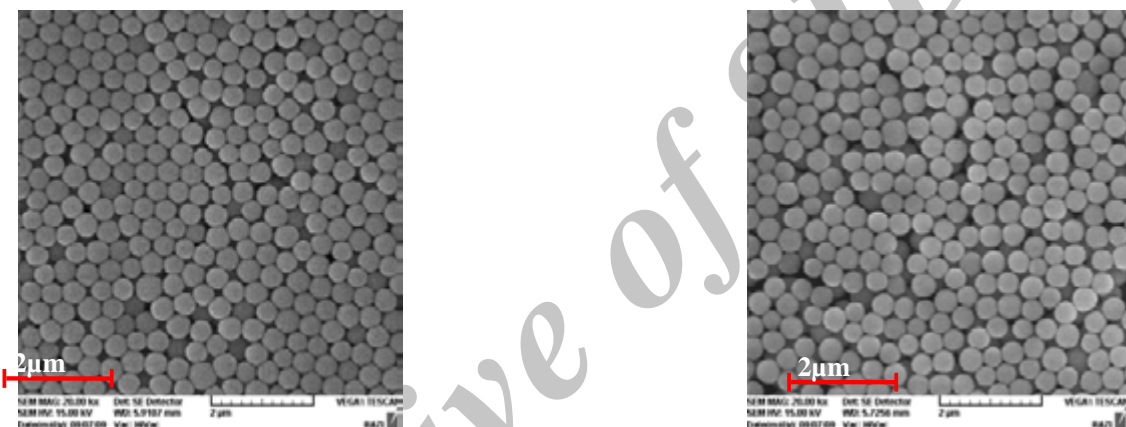
شکل ۲- تصویر SEM از لایه‌ی خوردده سیلیس ناشی از فرآیند سنتز بدون واکنشگر (آمونیاک) با نسبت ترکیب شیمیایی N0



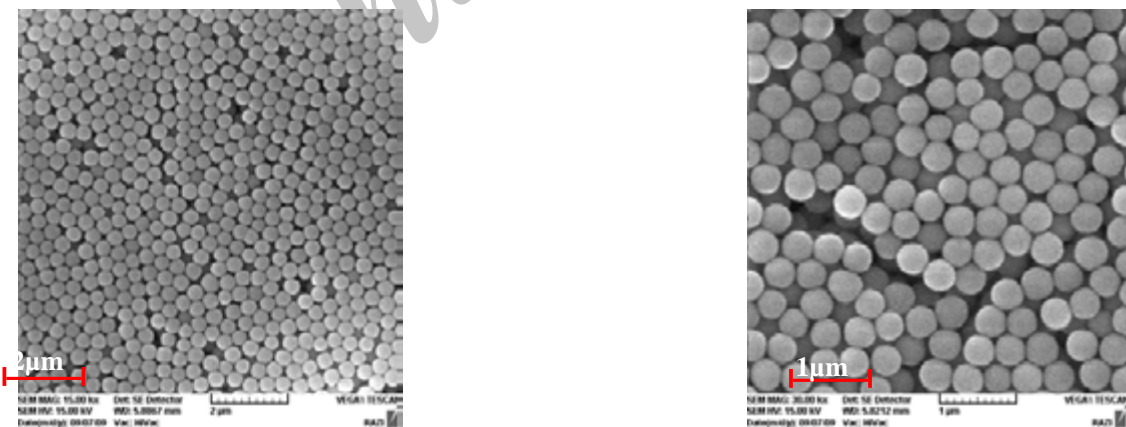
شکل ۳- نانوذرات سیلیس تشکیل شده در نمونه‌ای بدون آمونیاک، اما در محدوده pH قلیایی (این نمونه حاوی NaOH است) نانوذرات سیلیس بدون شکل مشخص که به صورت دسته‌های ثراکنده‌ای تشکیل شده اند (بزرگنمایی راست ۲۵۰۰ و چپ ۵۰۰).



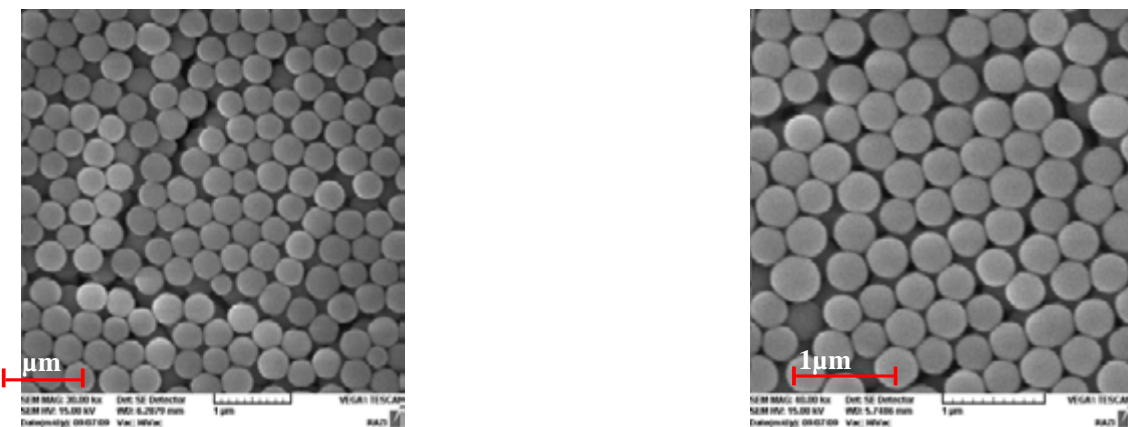
شکل ۴- تصویر SEM از لایه‌های ترک خورده‌ی سیلیس زمانی که pH سیستم با اسید نیتریک در محدوده‌ی ۲-۳ تنظیم شده بود.



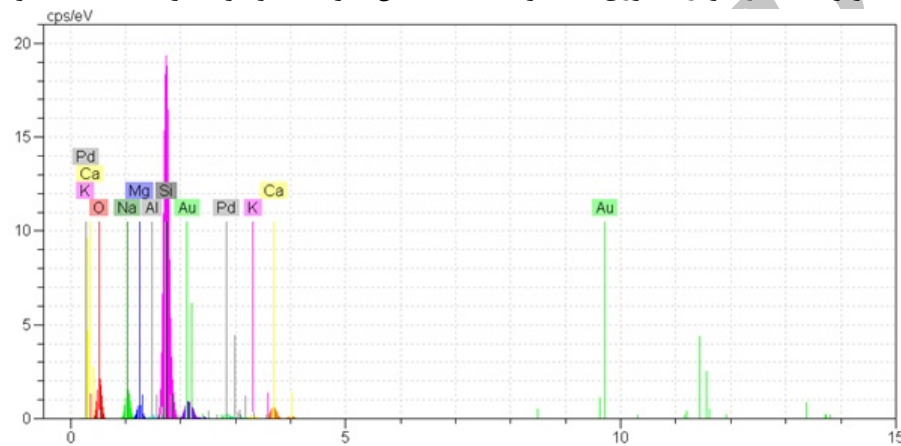
شکل ۵- تصویر SEM از نانو ذرات کروی کاملاً ثراکنده با میانگین قطر ۱۰۰ نانومتر سنتز شده با نسبت ترکیب N1



شکل ۶- تصویر SEM از نانو ذرات کروی کاملاً ثراکنده با میانگین قطر ۲۰۰ نانومتر سنتز شده با نسبت ترکیب N2

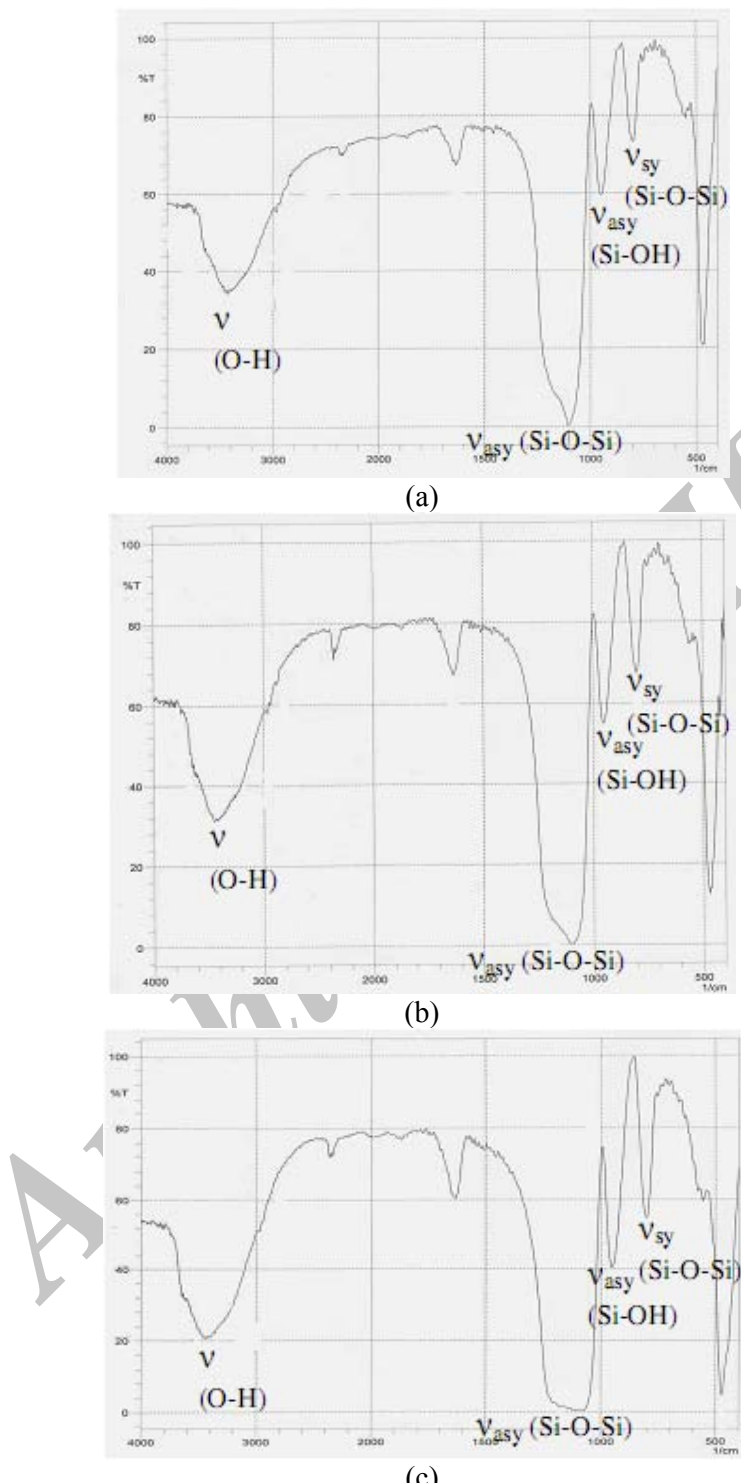


شکل ۷- تصویر SEM از نانوذرات کروی کاملاً پراکنده با میانگین قطر ۳۰۰ نانومتر سنتز شده با نسبت ترکیب N3



عنصر	Series	unn. C norm. C [Wt.-%] Atom. C	[Wt.-%]	[At.-%]
اکسیژن	K series	۲۴/۸۹	۲۶/۳۱	۴۲/۴۱
سدیم	K series	۴/۱۹	۴/۴۲	۴/۹۶
منیزیم	K series	۱/۹۲	۲/۰۳	۲/۱۵
آلومینیوم	K series	۰/۴۸	۰/۵۱	۰/۴۹
سیلیسیم	K series	۴۶/۲۷	۴۸/۹۰	۴۴/۹۰
پتانسیم	K series	۰/۸۰	۰/۸۴	۰/۸۵
کلسیم	K series	۳/۷۰	۳/۹۲	۲/۵۲
پالادیوم	L series	۲/۶۳	۲/۷۸	۰/۶۷
طلاء	M series	۹/۷۴	۱۰/۲۹	۱/۳۵
٪۹۴/۶				جمع

شکل ۸- طیف EDX و داده‌های آنالیز عنصری مربوط به نانوذرات کروی شکل سیلیس کاملاً پراکنده سنتز شده به روش سل-ژل.



شکل ۹- نتیجه‌ی آنالیز FTIR برای نانو ذرات کروی سیلیس سنتز شده به روش سل-ژل (a) نمونه N3، (b) نمونه N2 و (c) نمونه N1